DDI谛听

深度学习在无人机方向监测中的应用

Deep Learning in Drone Direction Indication



汇报:刘诗楠

时间:2017年8月25日



PART D1

无人机攻防背景(10′)

PART D2

作品设计及实现(25′)

PART D3

数据分析及解读(15′)

PART D4

未来展望及预期(10′)

PART DI

无人机攻防背景

从无线电角度而言

无线电反无人机技术

GPS屏蔽与欺骗

360 Unicorn团队已经证明了针对无人机的低成本GPS欺骗能带

ADS-B信号欺骗

来相应的效果

平民无人机已配备自动相关监视广播 (ADS-B)系统,每秒播放飞机的位置和 速度,以避免与其他载人或无人飞机相撞

控制信号干扰与欺骗

屏蔽或中间人攻击 2.4GHz 或 5.8GHz的WiFi信号,信号的丢失 迫使飞机进入丢失的链路状态,

开启自动返航模式。

低空无人机依靠摄像机拍 摄的视频进行导航和避障

操纵相机捕获的图像

注入伪造的传感器数据

在飞行控制器中注入制造的 读数来破坏一组传感器,操 纵所有外部影响的传感器, 如雷达,红外和电光传感器

拒绝服务攻击

通过数据链路以随机命令 淹没其网卡可能迫使这种 无人机进入意外的状态

无线电反无人机应用

Drone Defender

首款可精准快速阻止可疑无人机靠近的、可移动的非破坏性反无人机专用设备。该设备有效打击范围为400米,仅对依靠GPS导航或实时遥控的无人机有效(如四轴和六轴飞行器)。

SkyJack

无人机防御者

Kamkar于2013年在Github上发布了名为SkyJack的Perl软件,运行在 Raspberry Pi上并使用其它开源软件来劫持飞行器。

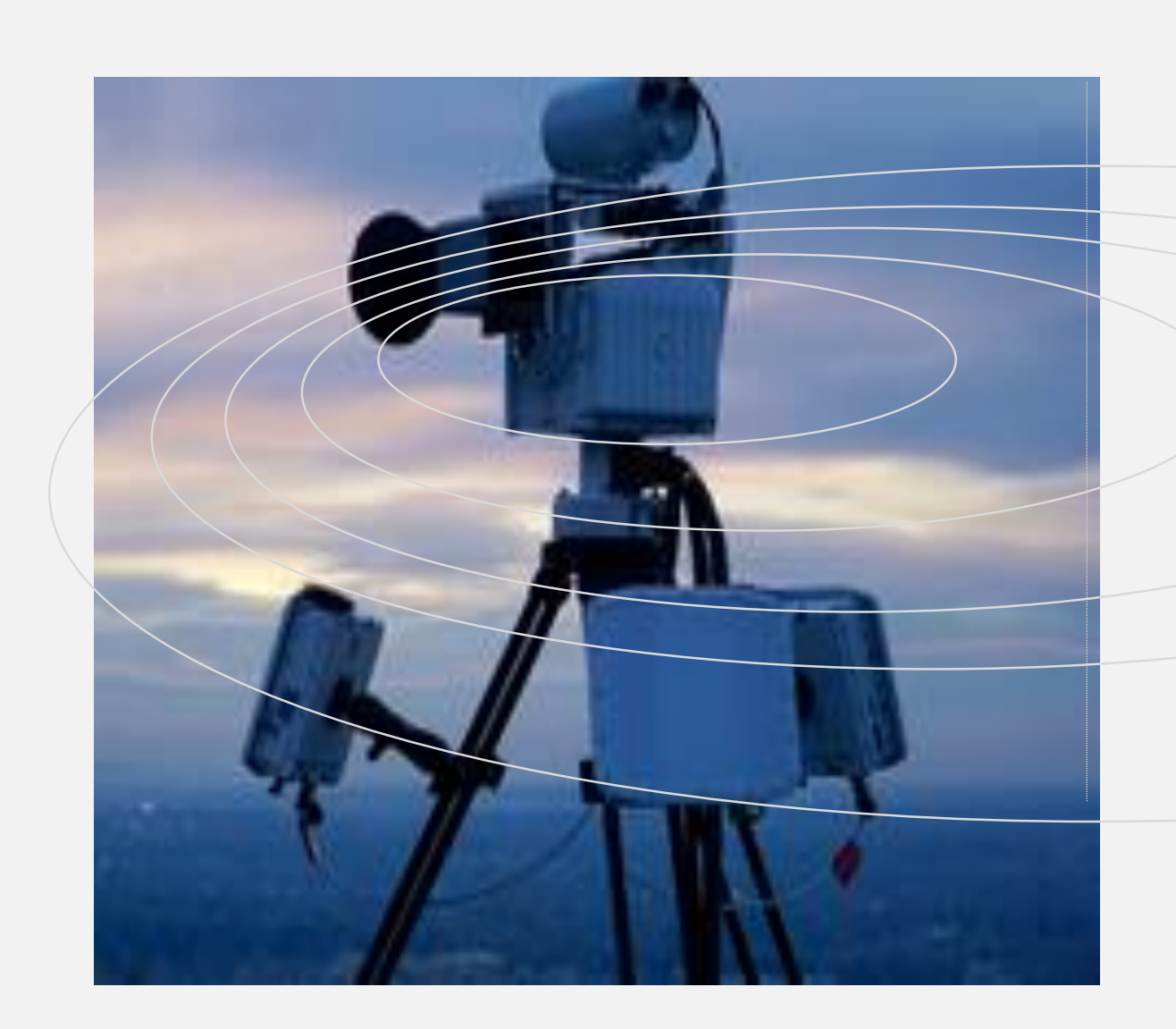


"蒂奴皮" E1000MP便携式干扰器总输出功率超过100瓦,共有五个频道,采用GPS中断和定向电子对抗干扰技术,诱使无人机离开保护区或自动着陆。

那么,如何检测无人机的存在呢?

• 计算机视觉 **Drone Detection** 无线电监控 * 雷达 ●声音感知

无人机检测:雷达 Drone Detection : Radar



黑睿技术公司UAVX系统的人工智能系统连接雷达以及其他的传感器,使用神经网络人工智能进行自动分类检测,在实时绘图软件用真实数据对人工智能进行训练。

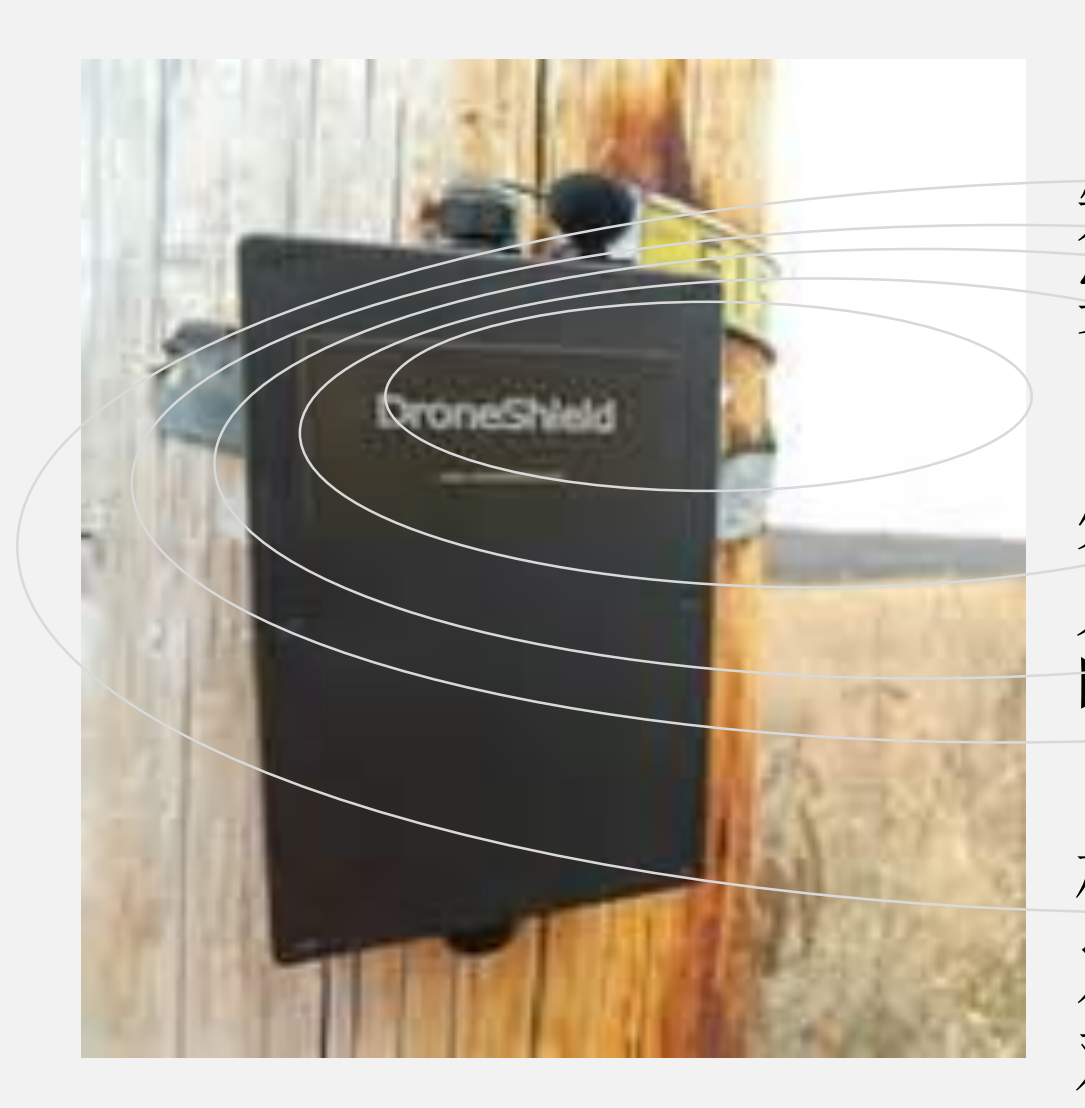
UAVX系统的工作流程主要包括探测、情报、分类、警告,首先使用小型监视雷达探测500米范围内的中型无人机,一旦有目标进入探测节围,系统可产生数百个雷达反射数据样本;同时UAVX系统将目标的常见无人机类型进行对比,每一次交互的证据数据都会保存下来,可实时通过浏览器查看亦可事后查看。

无人机检测:计算机视觉 Drone Detection : Computer Vision

计算机视觉技术一般在 视距范围内对雷达进行辅 助,包括紫外成像、可见 光成像、近红外光谱(NIR) 成像等技术。该类技术的 优点包括成本低、可用商 用现货充足、视场灵活性 较高: 缺点包括受杂波影 响严重、夜间效果差(需 要主动照射),受天气影 响严重。



无人机检测:声音感知 Drone Detection : Sound Cognition



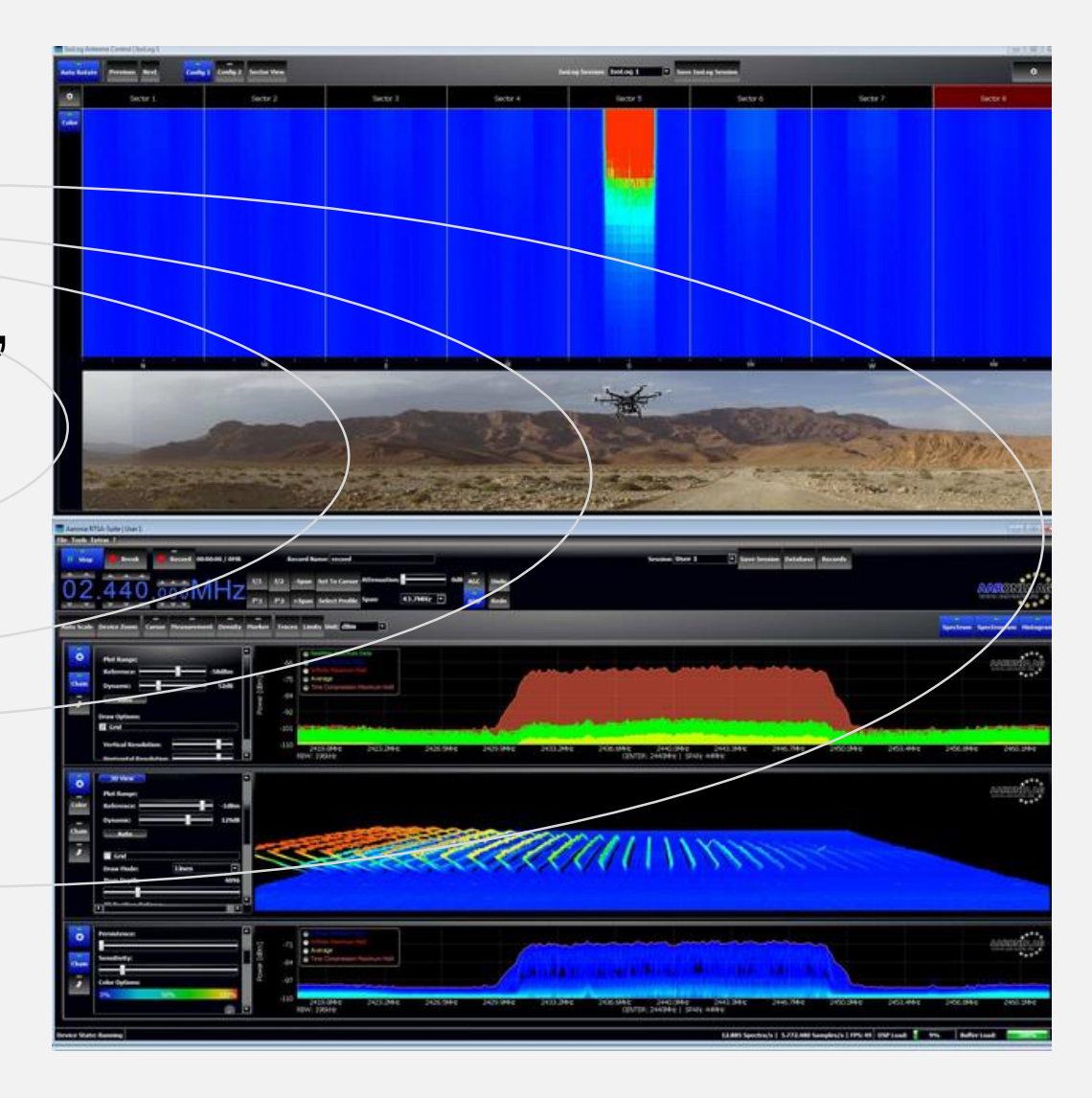
Drone Shield采用的是声音感知技术。目前该企业的技术可以实现的声音识别距离达到了1公里。

它内置了Raspberry Pi、信号处理器、麦克风、分析软件、无人机声音特性的数据库,通过声音对监听周围环境的声音,通过声音对比确定是否有无人机。当有无人机在附近时,通过邮件或者短信发出警报。从原理上来看,并不难。

无人机检测:无线监测 Drone Detection : Wireless Monitoring

安诺尼多点解决方案由多个天线和实时频谱仪组成,然后集中在一台监控计算机上同时管理所有系统。多点控计算机上同时管理所有系统。多点解决方案的优点是可实现三角测量定位,这样可以实现非常高的跟踪精度。

无人机侦测软件提供直观界面设计,结合强大的跟踪、触发、显示功能计,结合强大的跟踪、触发、显示功能选件来帮助识别,捕获和跟踪从无人机或其它射频信号源高达20GHZ的射频辐射。每个扇区/天线都有自己的实时视图,用于识别无人机的准确方向。

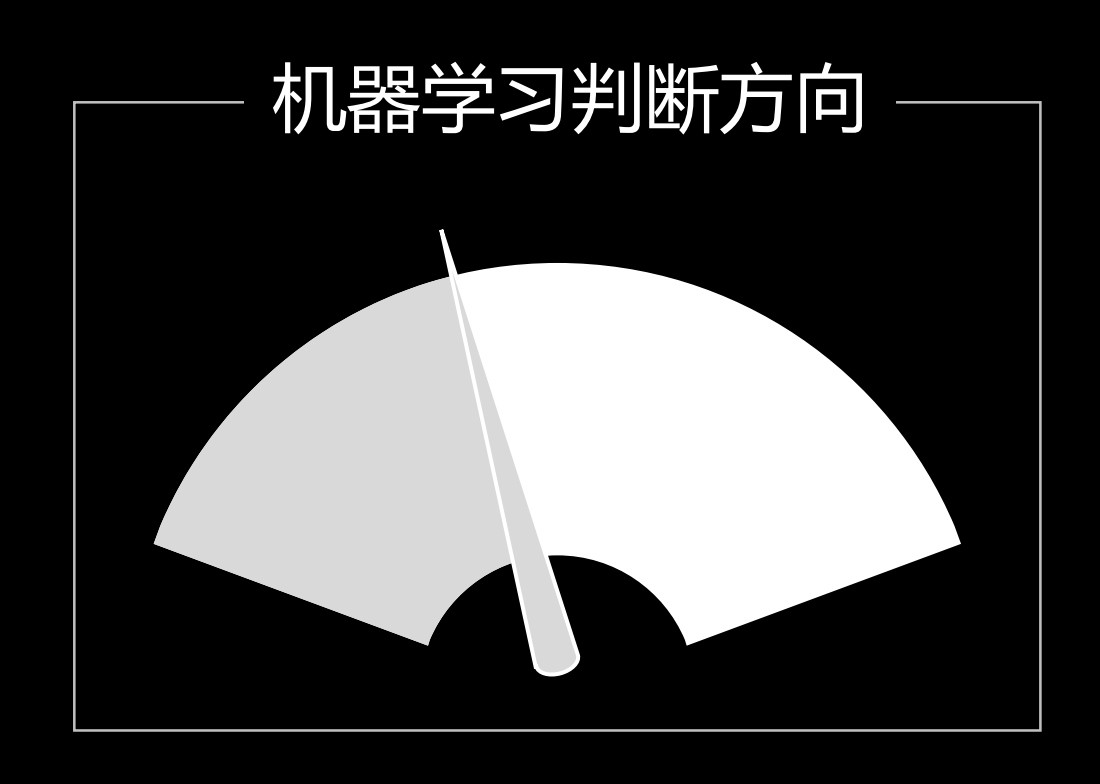




发现 问题



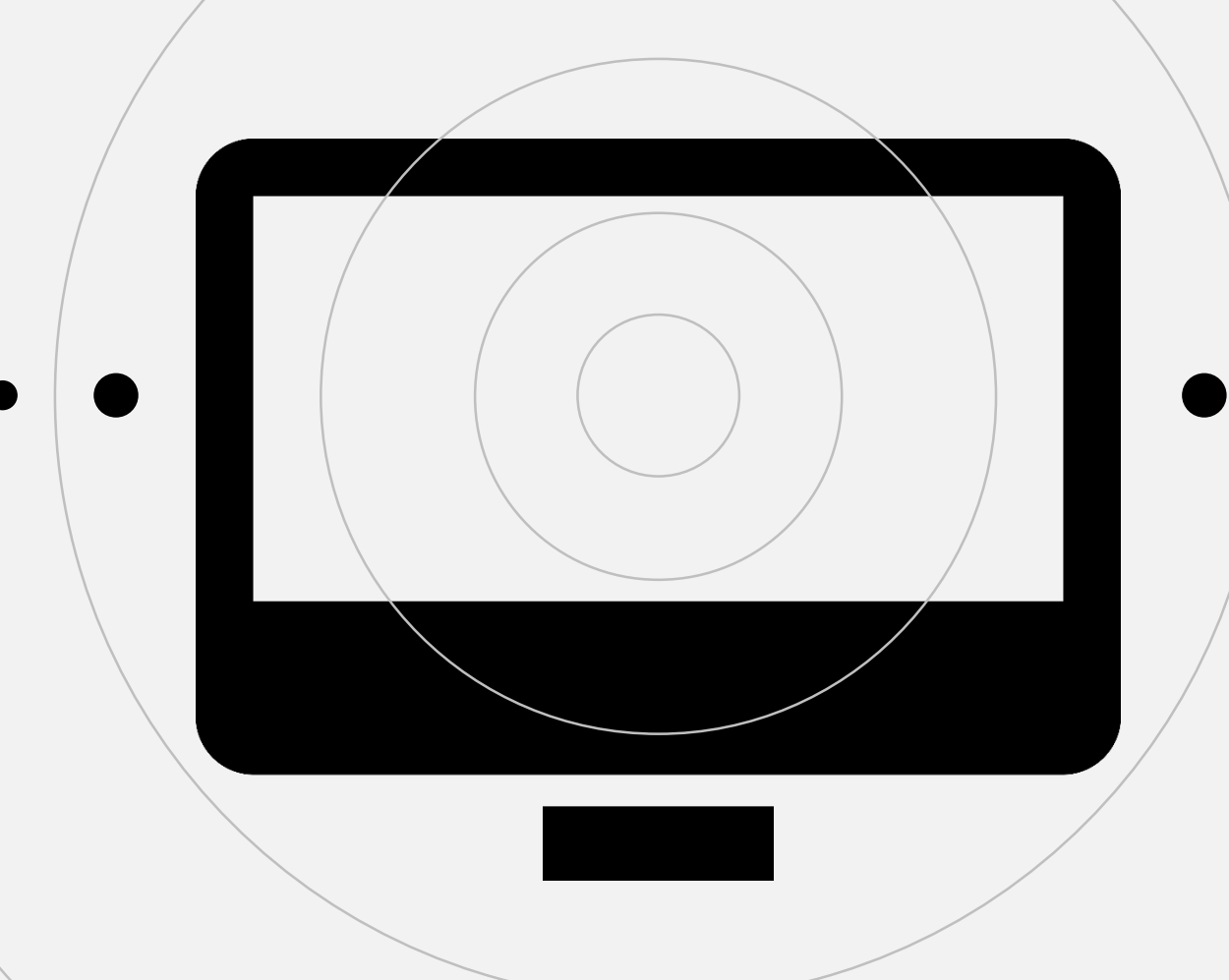
声音感知、雷达



如何直接通过无线监 听得到其运动方向?

问题建模:分类问题

通过实时 监听通信 链路获取 数据特征



使用卷积神经网络判断上下前后左右

关键:提取怎样的特征?

DJI通信 链路分析



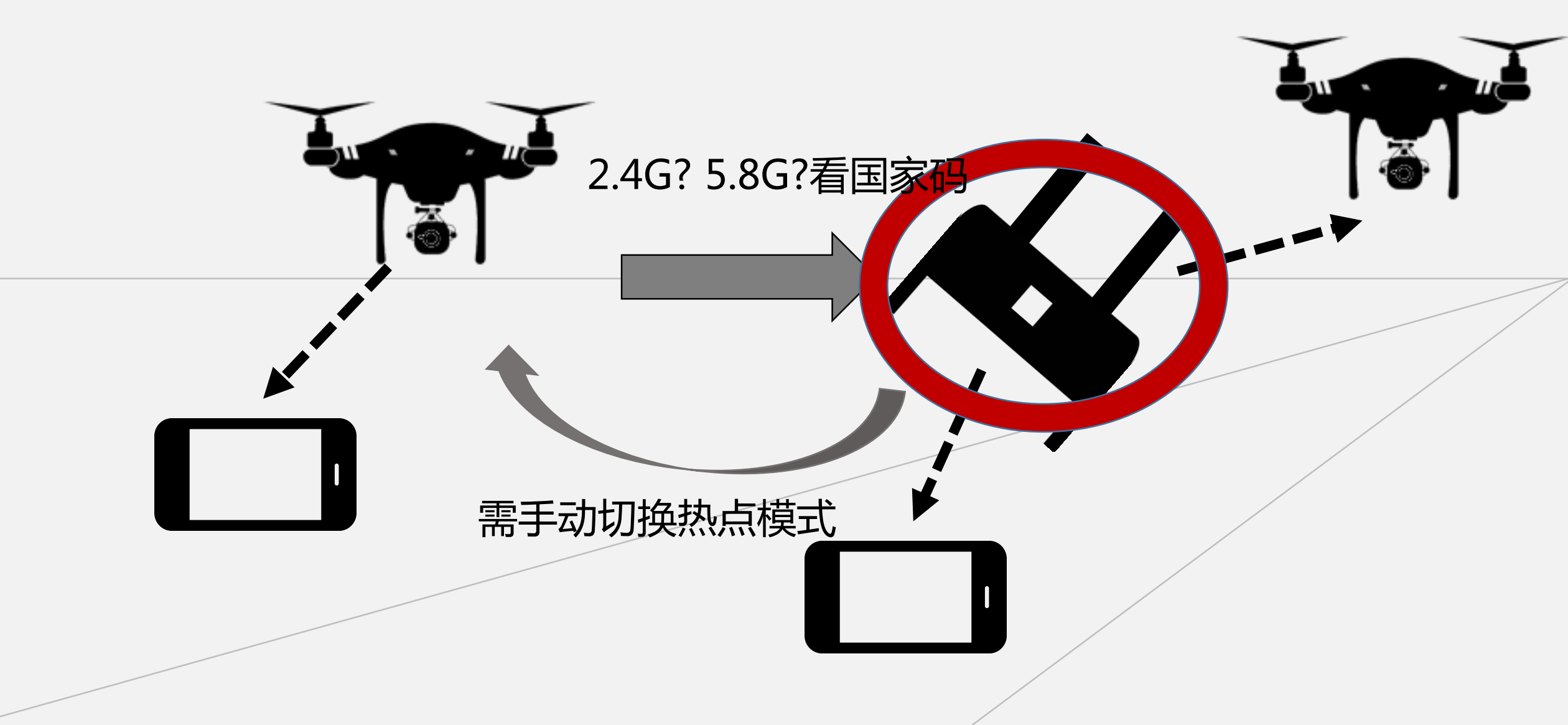




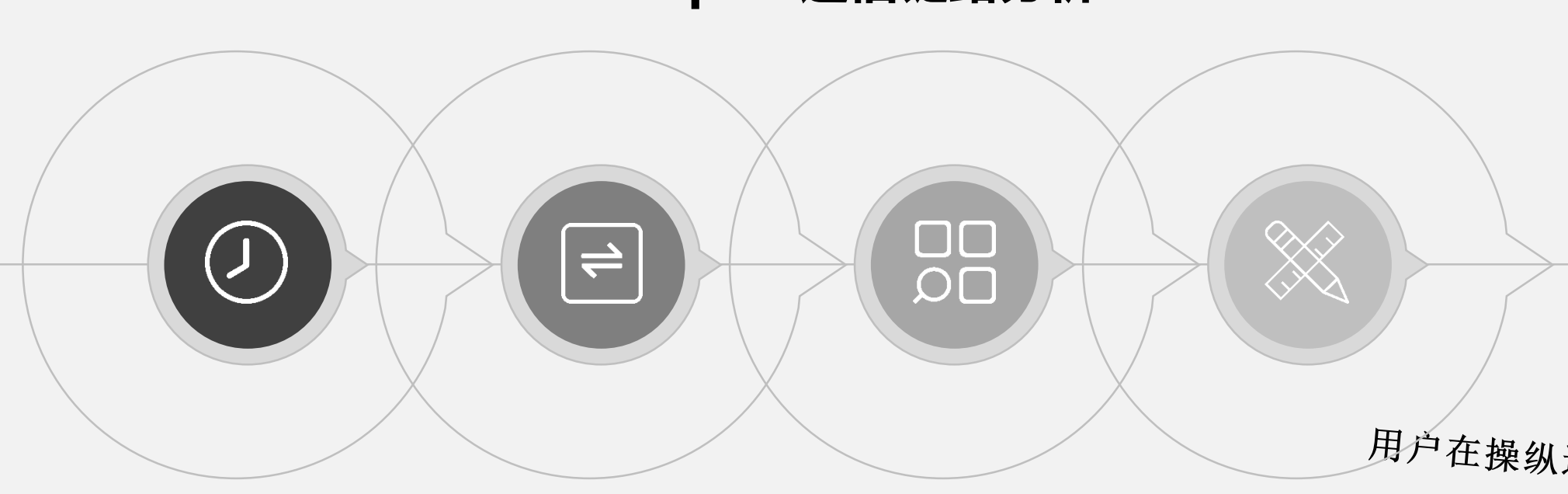


无人机运动 与信号特征 的关系

DJI Spark通信链路分析



DJI Spark通信链路分析



遥控器和无人机开机后,遥控器 负责发送数据,无人机负责接收 数据。它们通过共同的跳频序列 的高速跳频来保持一个数据链路, 链路故障有一定能力能迅速恢复。 无人机每7ms就会收到一次遥控器发出的 32字节控制数据,控制数据只有一条命令 一种格式,所有控制杆和开关的状态会一 次性发送到无人机。无人机收到数据后会 涉行地址校验和CRC校验,确保数据是正确 无误的。

用户在操纵遥控器的 过程中,操控的行为 和力度都会在7ms内 通过那32字节控制数据反馈至无人机数至无人机,控程 着由无人机的飞控行为。

数据链路层协议: Enhanced ShockBurstTM

Preamble 1 byte Address 3-5 byte Packet Control Field 9 bit Payload 0 - 32 byte Byte

Preamble: 自动生成,用于接收器同步数据流。01010101 或者10101010。

Address:接收器地址,程序控制。接收方通过检测该地址来解析数据。PCF:包控制字段。6bit的payload长度,2bit的包标识,1bit的NO_ACK标识。

Payload: 传输的用户数据。32bytes,占4/5.

CRC: 自动计算。在接受方可屏蔽CRC校验过程。

本是可破解为二进制的,然而,大疆无人机在二月份将通信协议进行加密,采用WPA2进行加密WiFi,并采用防重放功能

工作频率 2.412-2.462 GHz; 5.745-5.825 GHz

信号有效距离 2.4 GHz: 2000 m (FCC); 500 m (CE); 500 m(SRRC)

(无干扰、无遮挡) 5.8 GHz: 2000 m (FCC); 300 m (CE); 1200 m (SRRC)

工作环境温度 0℃至40℃

电池 2970 mAh

发射功率 2.4 GHz: 26 dbm (FCC); 18 dBm (CE); 18 dBm (SRRC)

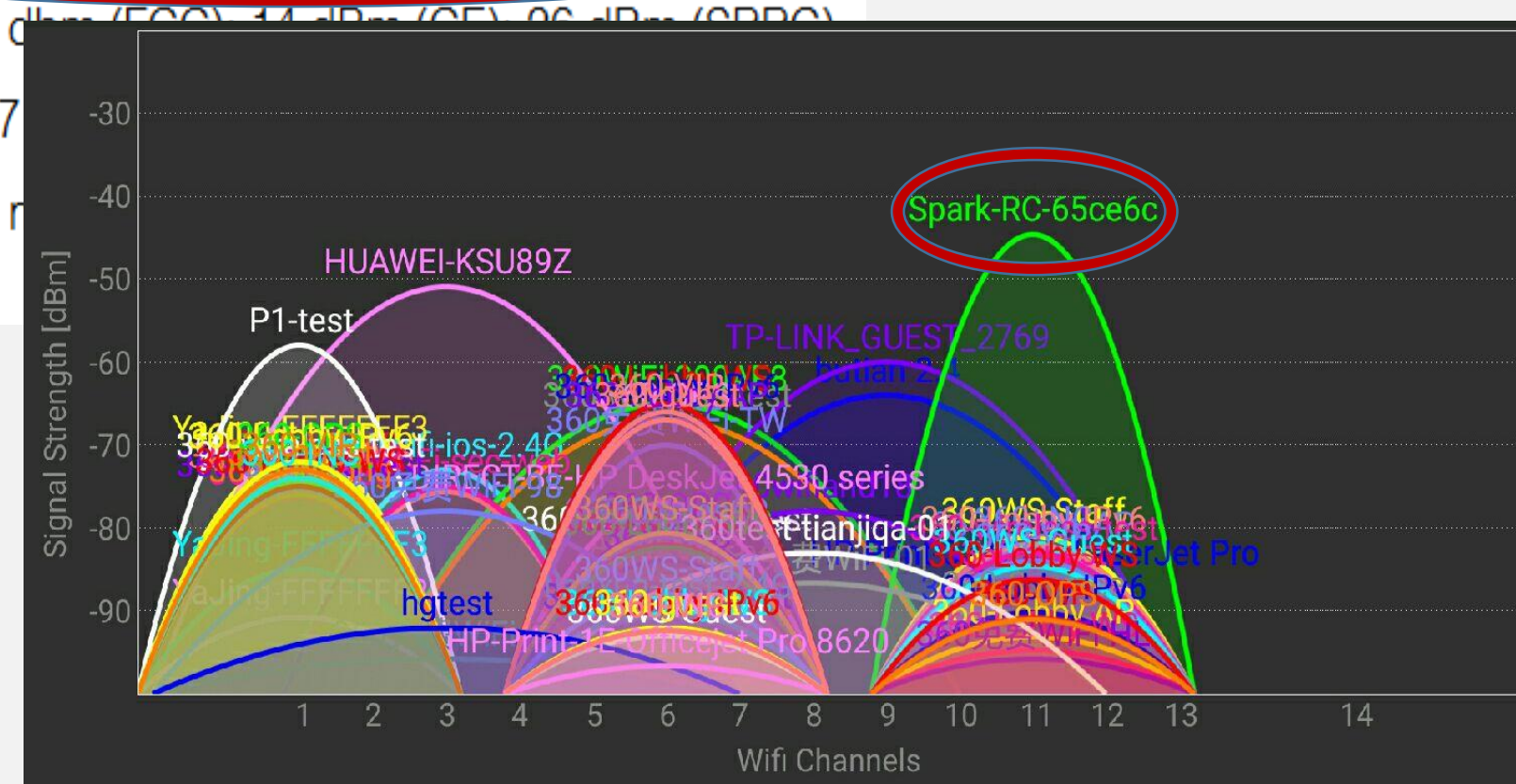
(平均 EIRP) 5.8 GHz: 28 d

工作电流/电压 950 mA @3.7

支持移动设备 厚度 6.5-8.5 r

热点测量

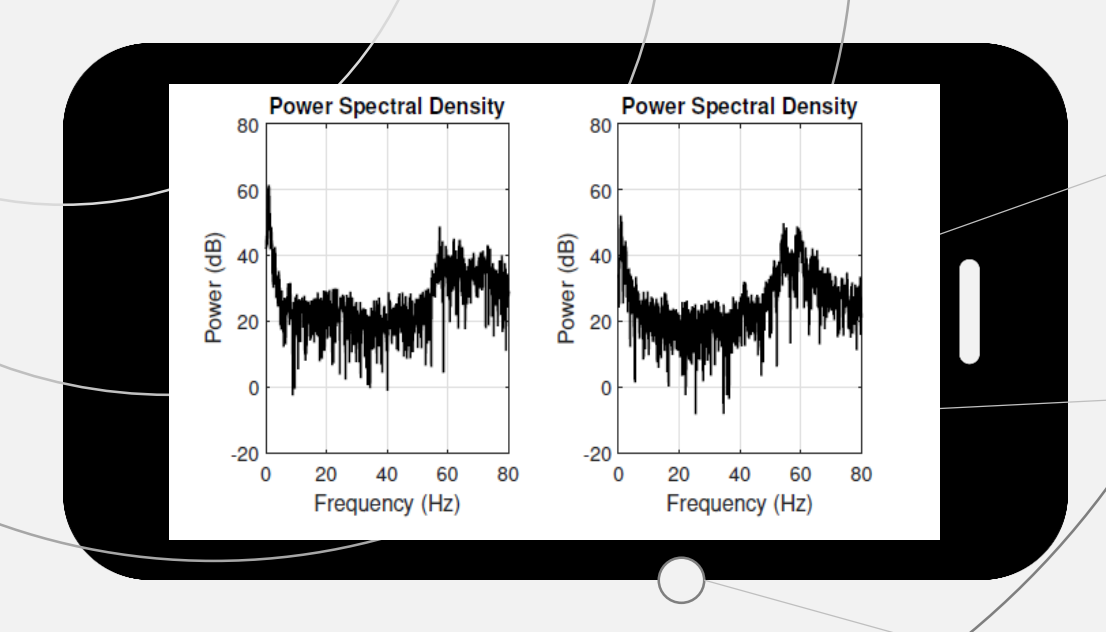
遥控器参数



发现:控制信号在功率上的反应



那么, Wi-Fi在信息层面值得监控吗?当然!



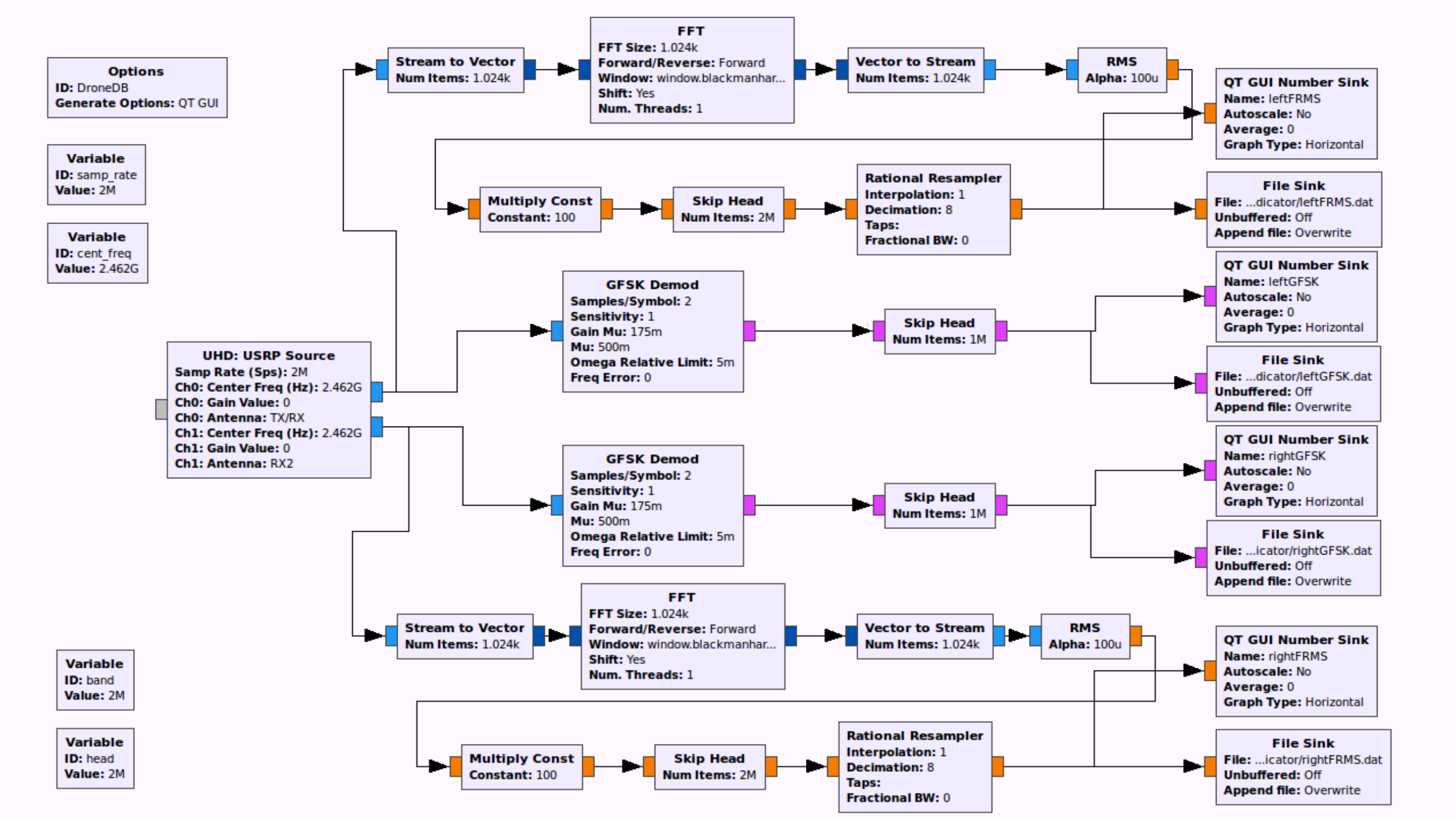
卷积神经网络 能够深挖人所不能 轻易发现的深层 特征,从而绕过 加密机制

GFSK解调后的码字 拥有4/5的控制信号,即使加密,相同信息仍有相同哈希值 无人机的运动与 RF频谱抖动大 致相似*

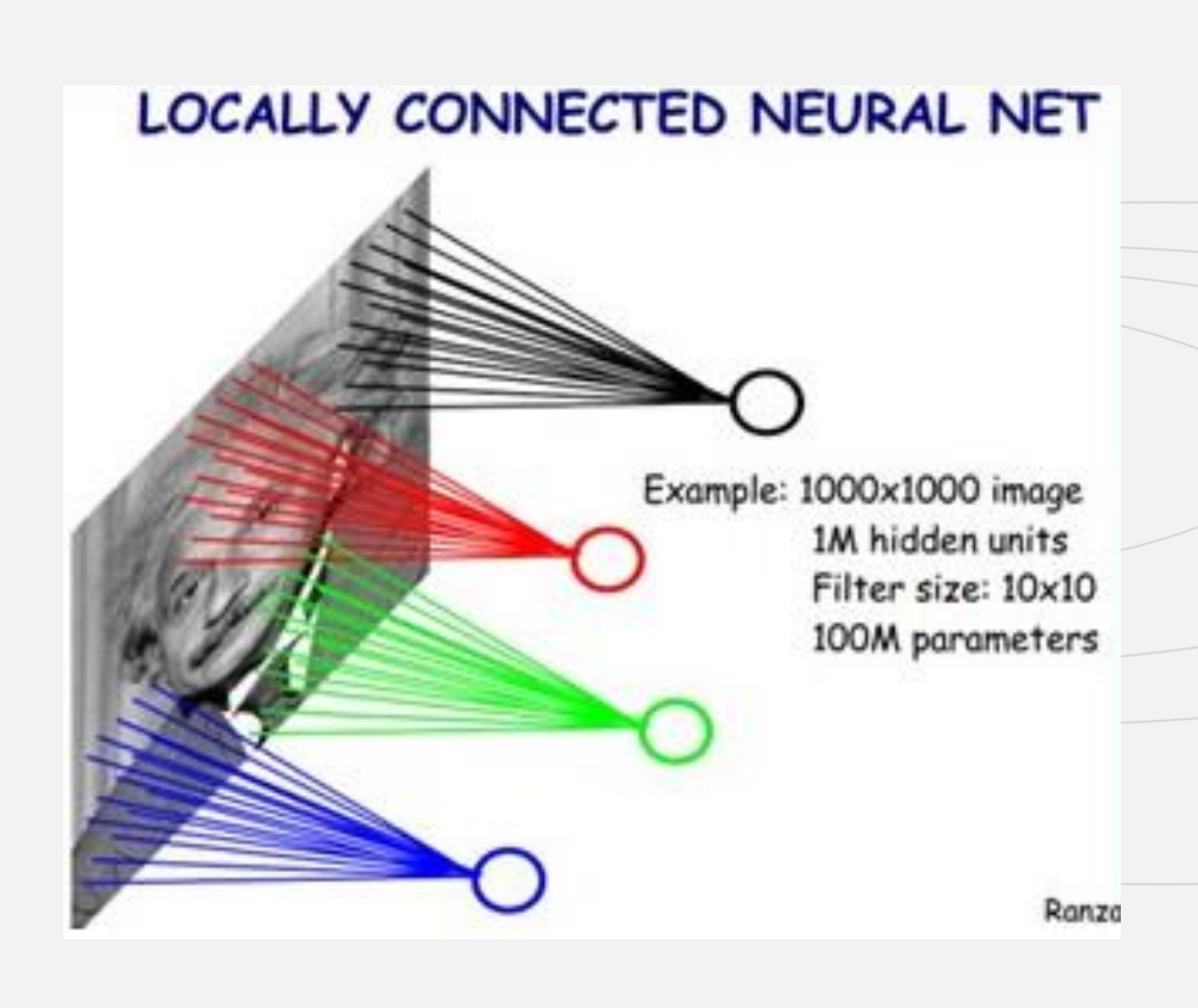
*MøbiSys' 17 Matthan: Drone Presence Detection by Identifying Physical Signatures in the Drone's RF Communication

综上所述:选定的信号特征





卷积神经网络介绍

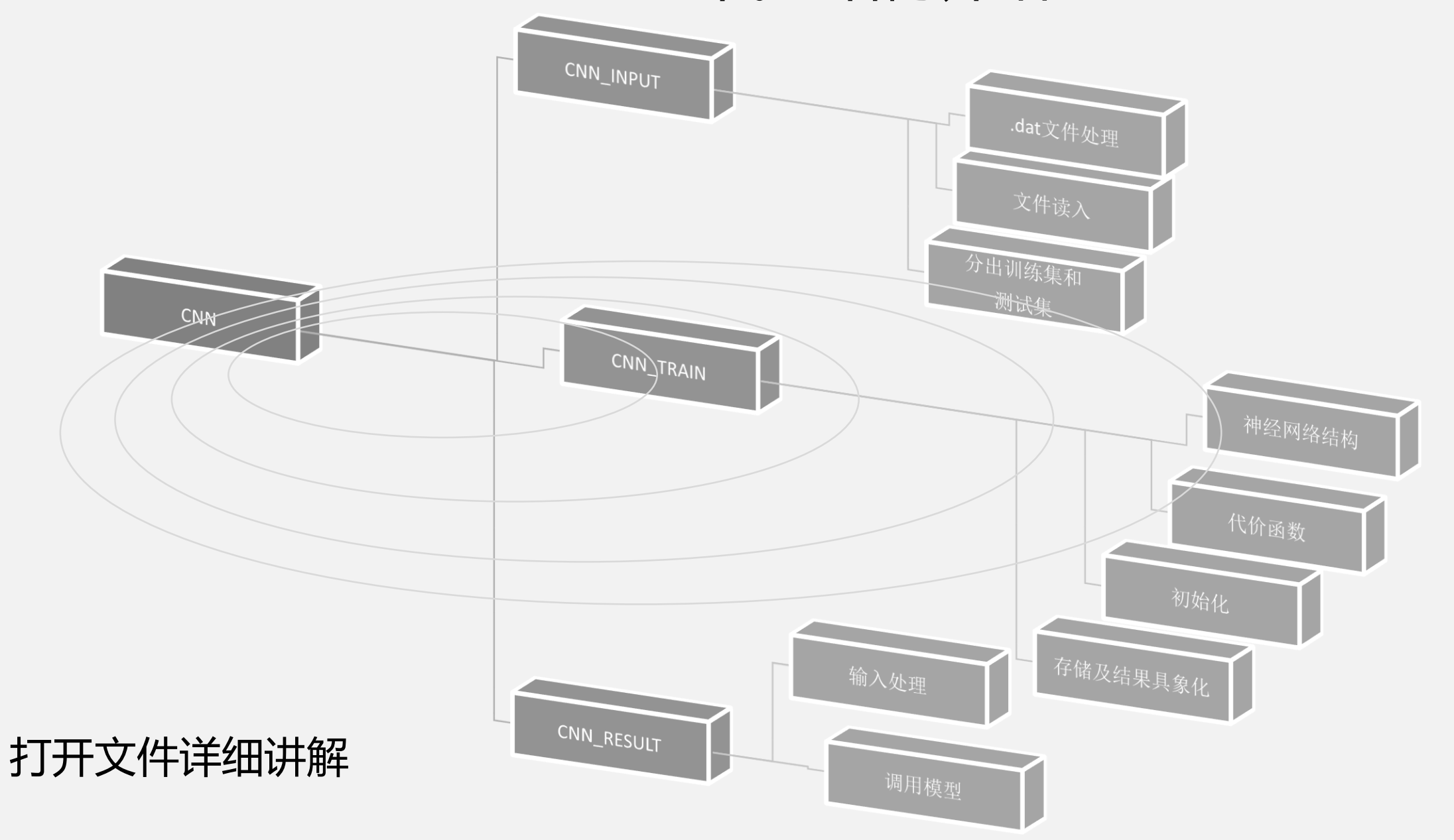


• 基本处理单位为图

● 通过扫描挖掘特征

• 效果超好的黑箱

代码结构介绍



卷积神经网络结构

不断调整模型

• 3个池化层

• 3个卷积层

• 1个全连接层

有坑勿踩

.dat文件读入

十进制还是二进制?

Byte格式与Complex格式的区别?

过拟合问题

Dropout函数?

数据越纯净越好?

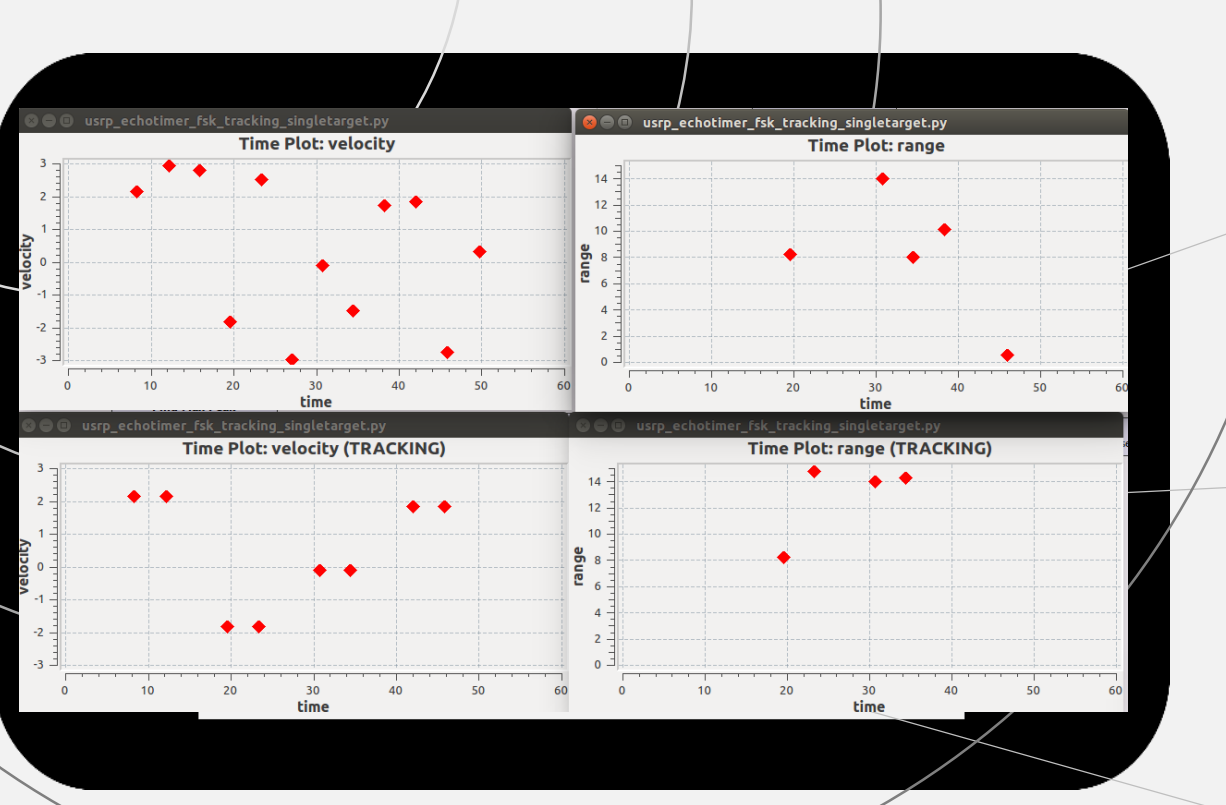
Local Optimal问题

怎样的Learning Rate比较合适?

如何应对随机的初值?

GNU-Radar Toolbox 的尝试 Options Variable Variable Variable Variable ID: usrp echo... singletard QT GUI Sink center freq ID: min output buffer ID: range time ID: samp rate ID: fac corr Generate Options: QT (Name: OT GUI Plot lue: 2.45G Value: 8.38861M Value: 60 **OT GUI Time Plot** Value: 2M Value: 2 FFT Size: 256 🛑 📵 Properties: USRP Echotimer Center Frequency (Hz): 0 Bandwidth (Hz): 122 General Advanced Documentation **Update Rate: 10** OT GUIT QT GUI Range OT GUI Range OT GUI Range ID: gain rx ID radar usrp echotimer cc 0 ID: gain tx ID: delay ID: threshold ID: samp protect Label: RX gain Label: TX gain Label: Nu Label: Find pea...ted samples Label: Find peak threshold Sample rate Default Value: 10 samp rate Default Value: 10 Default V Default Value: 1 Default Value: -180 Start: 0 OT GUI Time Plot Start: 0 Start: 0 Start: -180 Start: 0 Center frequency center freq Stop: 100 Update interval [ms]: 100 Stop: 100 Stop: 100 Stop: 100 Stop: 100 Step: 1 Label v: range Step: 1 Step: 1 Number delay samples int(delay samp) Step: 1 Step: 1 Axis v: 0. 15 Range time [s]: 60 TX Arguments 'serial=F61903' Label title: TX Wire Variable Variable Variable Variable Variable Variable ID: wait to start TX Clock source ID: range res ID: freq res b: measure time ID: vel res ID: delta freq 'internal' **QT GUI Time Plot** Value: 20m Value: 27.2727 Value: 476.562m alue: 2.09715 Value: 29.1773m Value: 11M Update interval [ms]: 100 TX Time source 'internal Label y: velocity Axis y: -3, 3 TX Antenna 'TX/RX' Range time [s]: 60 Label title: TX Gain gain tx Find Max Peak Sample rate: 122 TX Timeout 0.1 Estimator FSK Print Results Threshold [dB]: -180 Center frequency: 2.45G TX Wait to start wait to start Number protected samples: 1 Store messages: False Delta frequency: 5.5M Cut frequencies: Push through power of peaks: False TX Lo offset Use cut frequencies: False Packet length key: packet len **RX Arguments** 'serial=F61903' Tagged Stream FFT nal Resampler RX Wire Packet length: 256 olation: 1 Packet length key: packet len RX Clock source ation: 4.096k 'internal' **Multiply Conjugate RX Time Source** 'internal' onal BW: 0 RX Antenna 'RX2' Variable Variable Variable Tagged Stream FFT nal Resampler RX Gain gain rx Packet length: 256 ID: samp per freq ID: decim fac ID: block per tag olation: 1 RX Timeout 0.1 Value: 4.096k Value: 1.04858M Value: 2 Page packet len ation: 4.096k RX Wait to start wait to start onal BW: 0 Variable Variable **USRP Echotimer** RX Lo offset ID: samp rate red ID: packet len red Sample rate: 2M Value: 122 Value: 256 Center frequency: 2.45G Packet length key "packet len" Number delay samples: 39 Signal Generator FSK Sample rate: 2M OK Cancel Apply Samples per frequency: 2 Mult Frequency blocks per tag: 1.0485...8M Packet length key: packet len Frequency low: -5.5M Frequency high: 5.5M Amplitude: 500m Packet length key: packet len

效果不尽如人意,原因是?



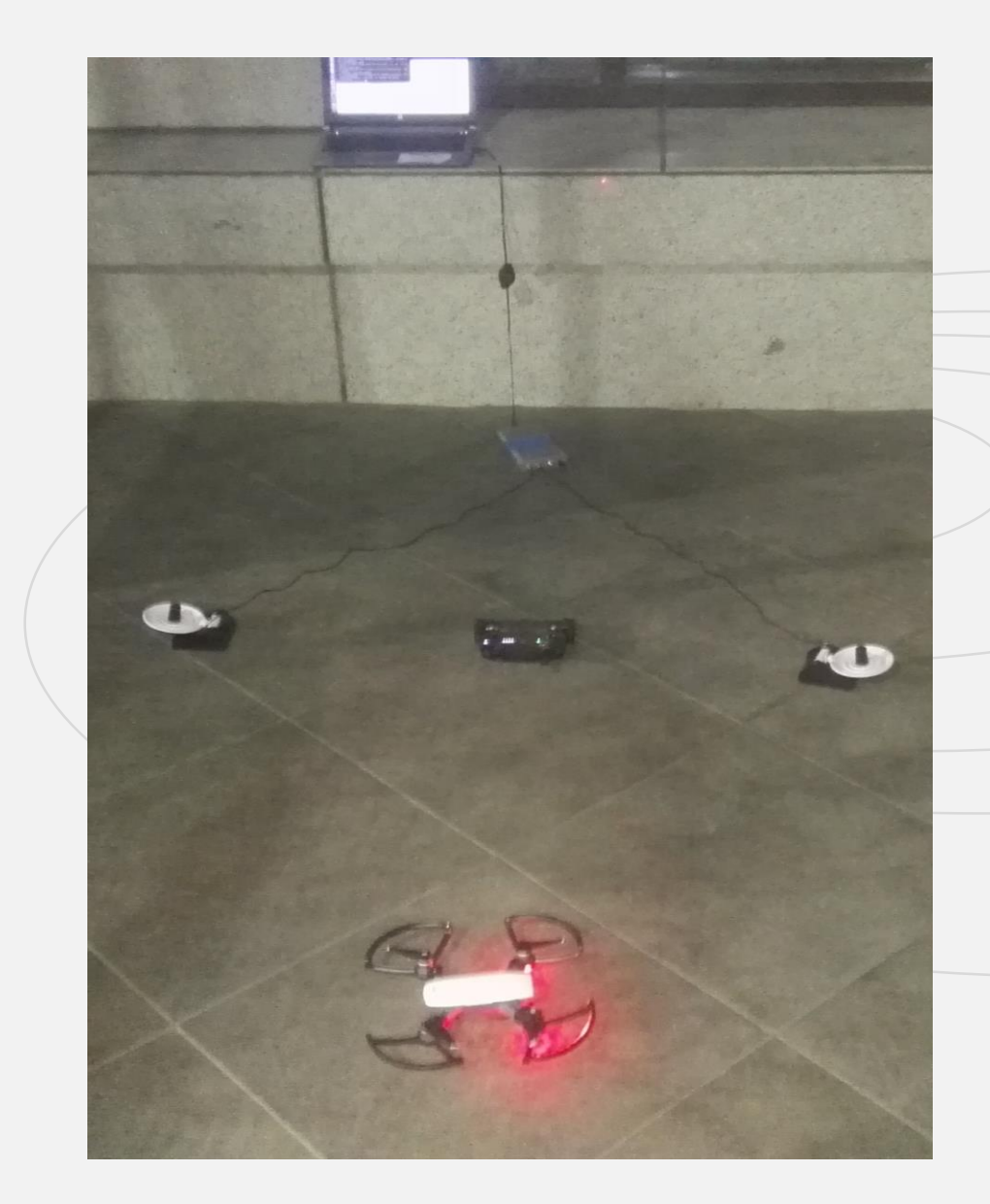
小目标受地 物杂波的影响,探测难度 非常大

大疆精灵系列无 人机的RCS(散射 截面积)是0.01 运动的小目标需要云台快速配合定向天线,具有较高精度要求



数据分析及解读

实验设定:数据接收 Experimental Setups: Data Receiving



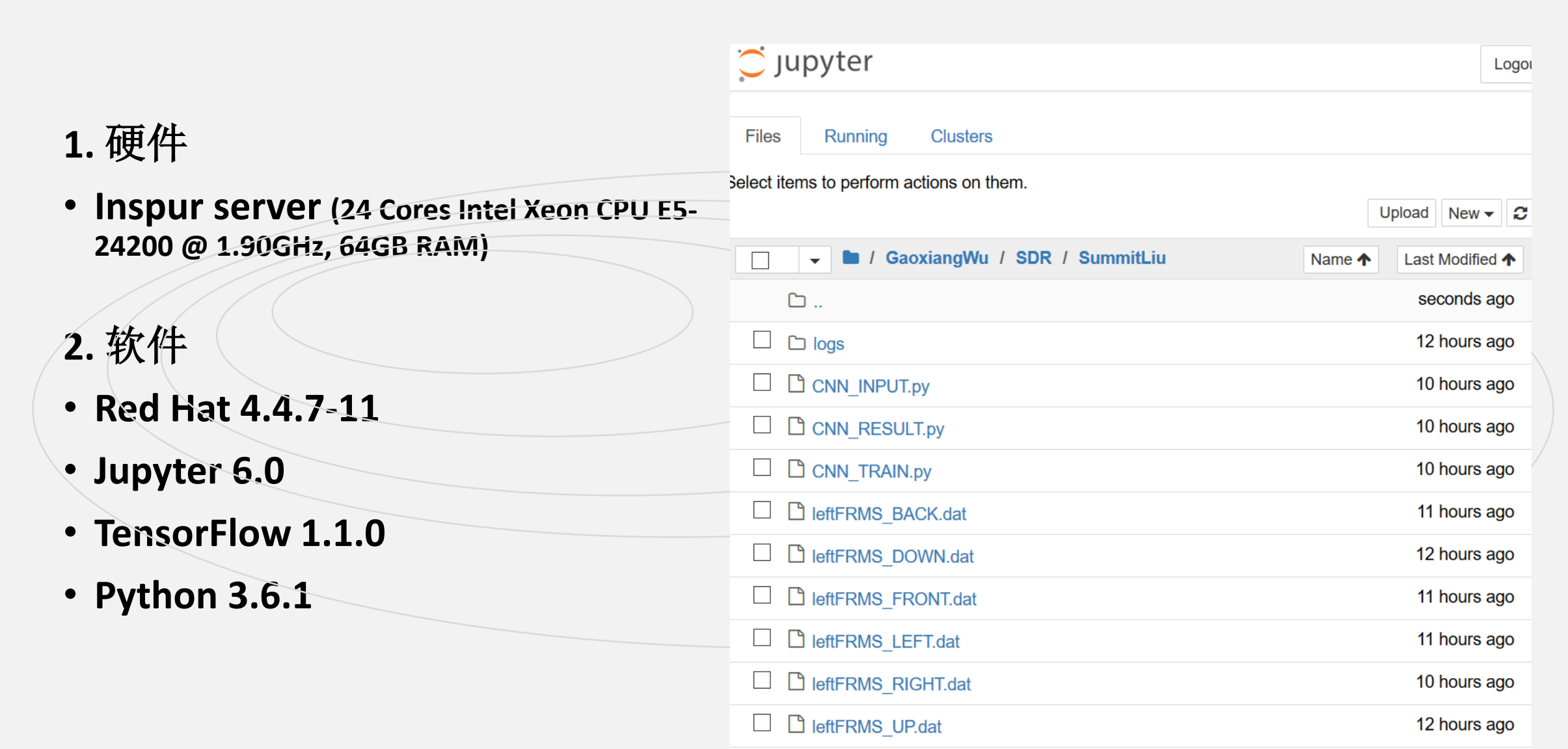
1. 硬件

- HP ProBook (Intel i5-6200∪ CPU@2.30GHz 2GB RAM)
- USRP B210 (2x2 MIMO 70MHz-6GHz)
- DJI Spark + Remote Controller C2
- 雷达型定向天线 *2 (10dB)

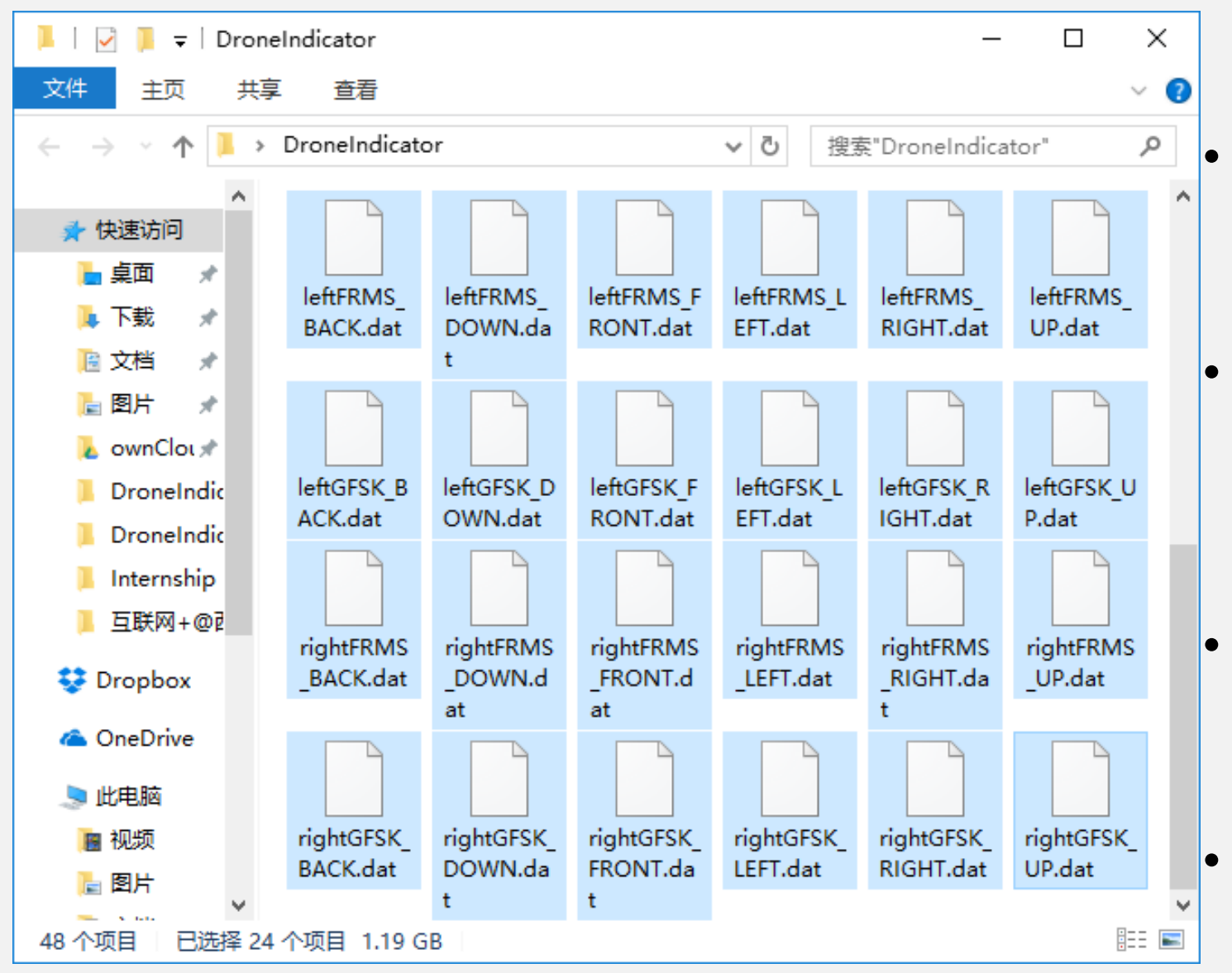
2. 软件

- Ubuntu 16.04
- GNU Radio Companion 3.7.10
- Python 2.7.11

实验设定:数据处理 Experimental Setups: Data Processing



数据量 Data Amount



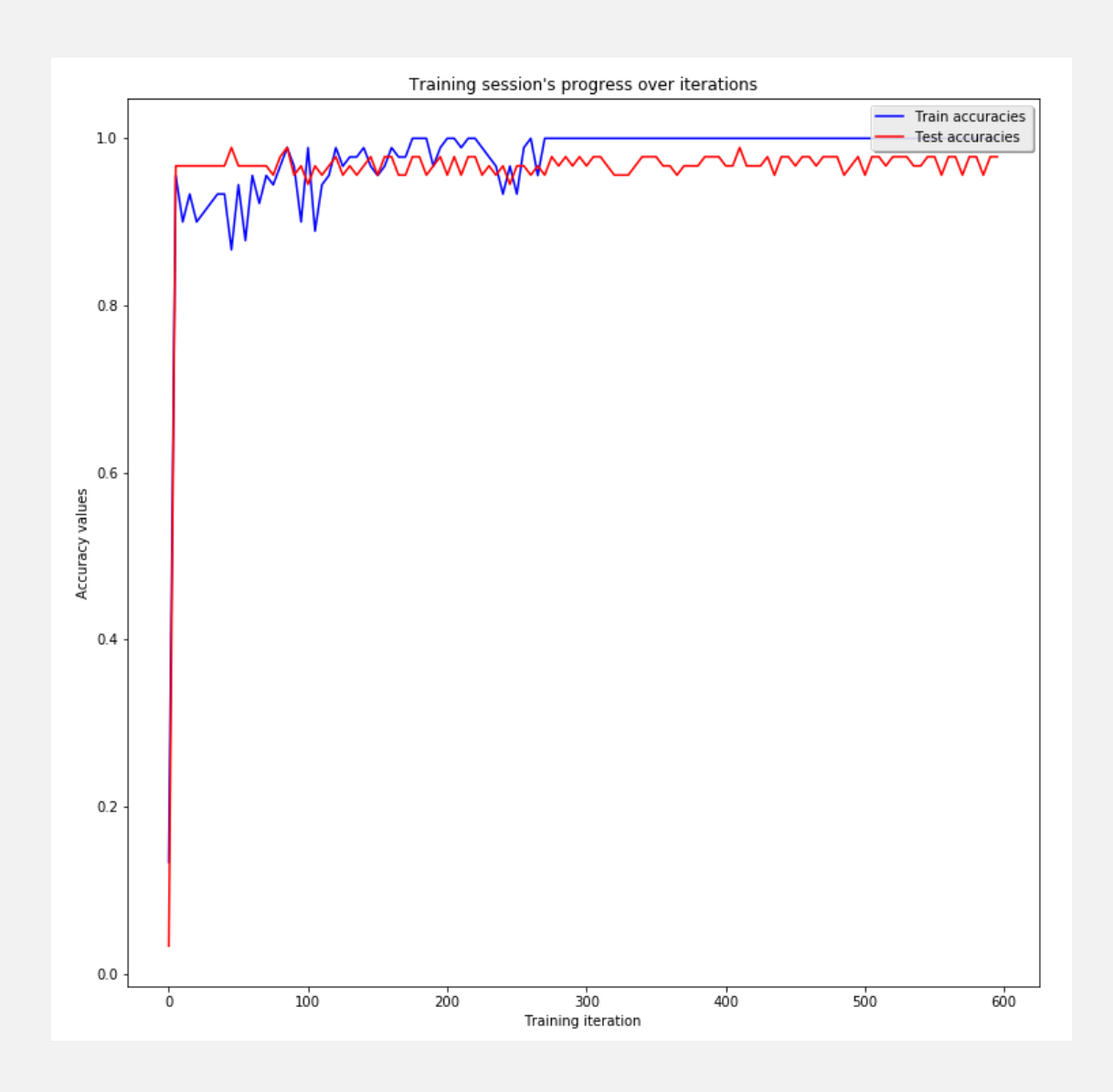
• 分类: UP、DOWN、FRONT、BACK、 LEFT、RIGHT 6个类别

 每个类别包含leftFRMS、leftGFSK (TX/RX), rightFRMS, rightGFSK (RX2)四种信号特征

· 每类别每种信号特征各50MB,共 1.2GB

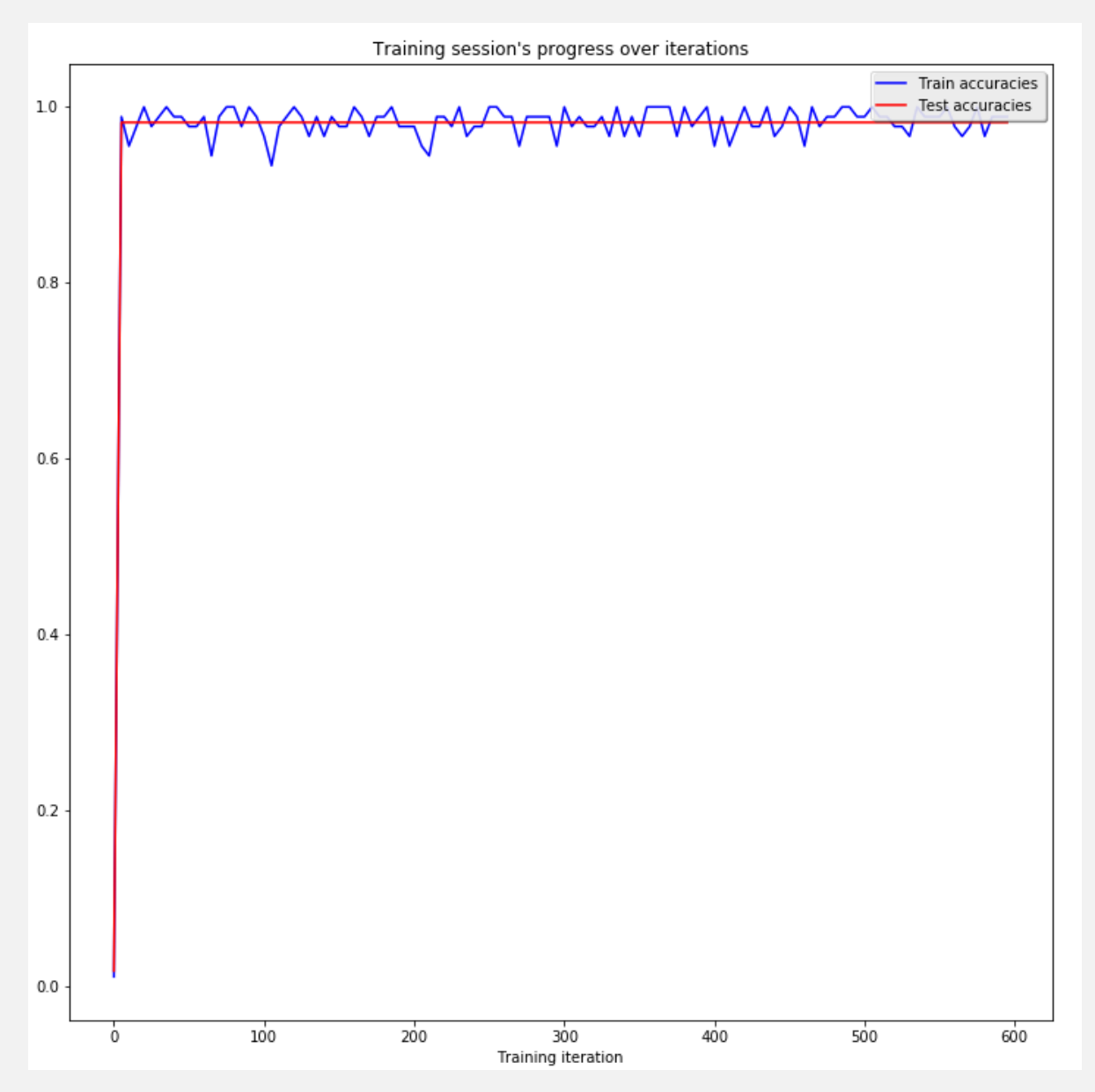
• 其中120MB为测试集,余者皆训练 集

单一特征(leftFRMS)二分(UP & DOWN)结果



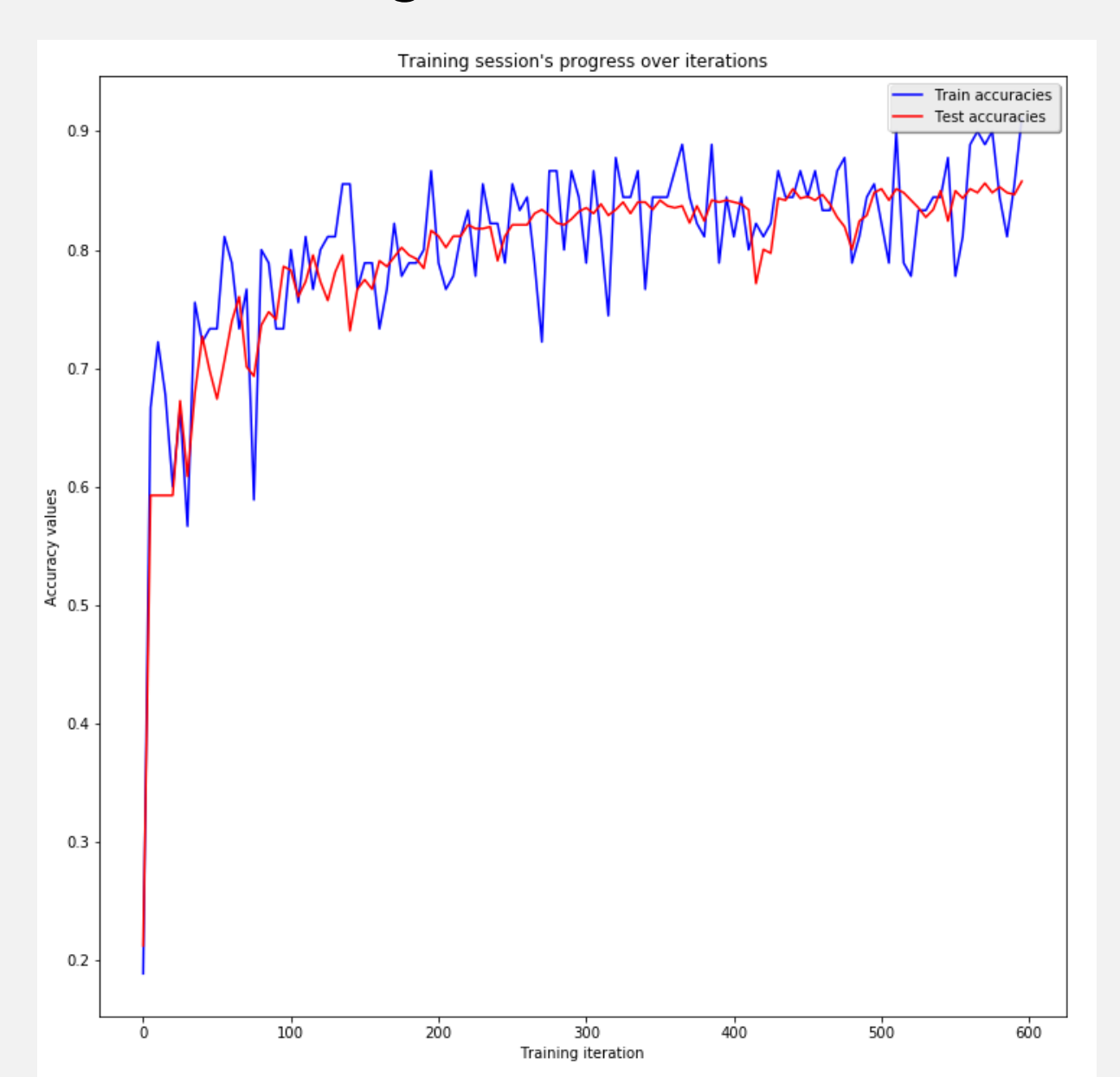
- · 训练过程耗时327.3s
- 模型单独进行一次判断平均耗时 3064ms
- · 训练集约300次重复后正确率稳定 在100%
- · 测试集正确率基本稳定在95.3%至 97.8%之间

单一特征(leftGFSK)二分(UP & DOWN)结果



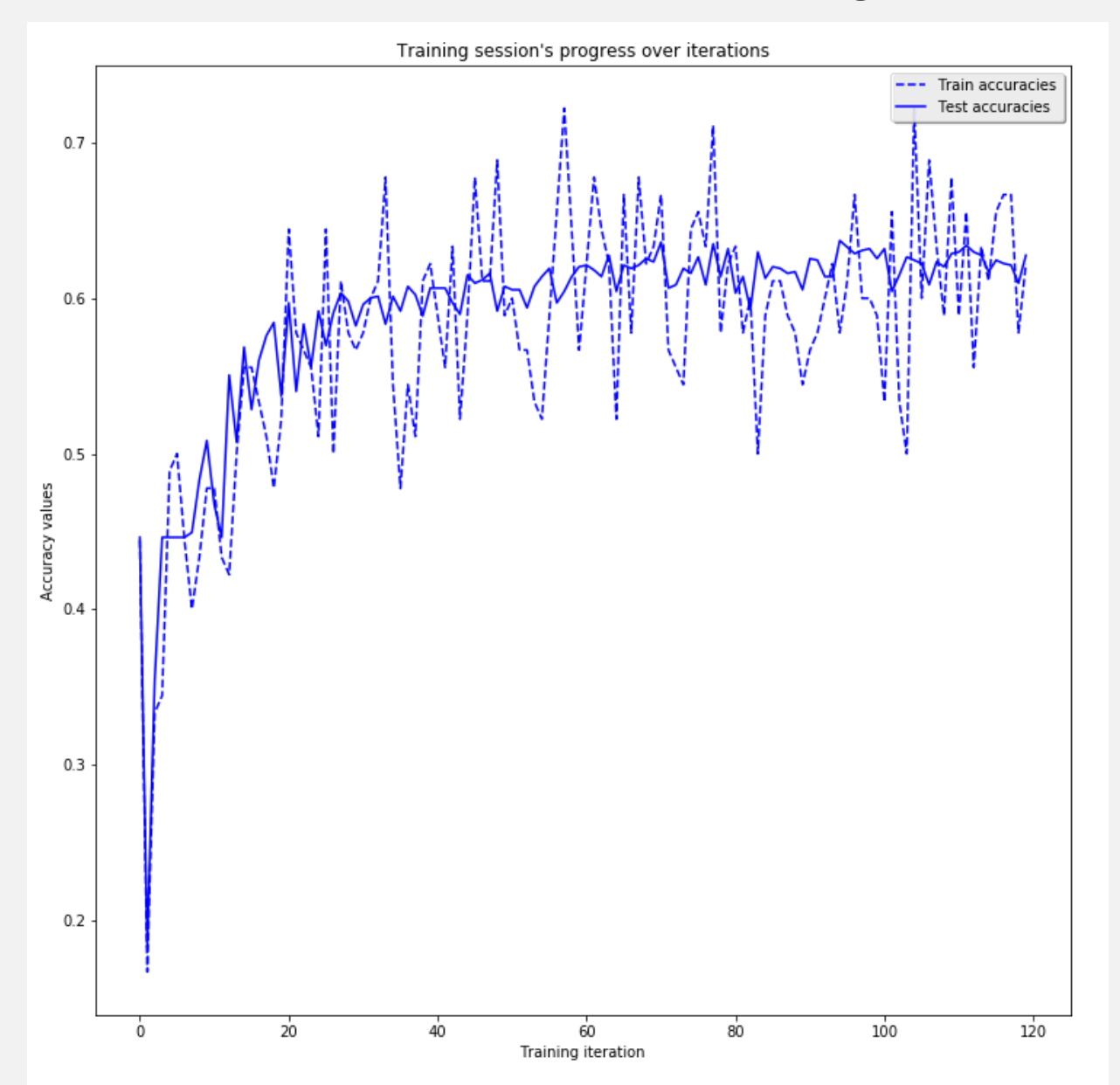
- · 训练过程耗时329.9s
- 模型单独进行一次判断平均耗时 3173ms
- •测试集正确率稳定在98.2%
- GFSK包含的判断信息比功率更多

单一特征(rightFRMS)四分(FRONT & BACK & UP & DOWN)结果



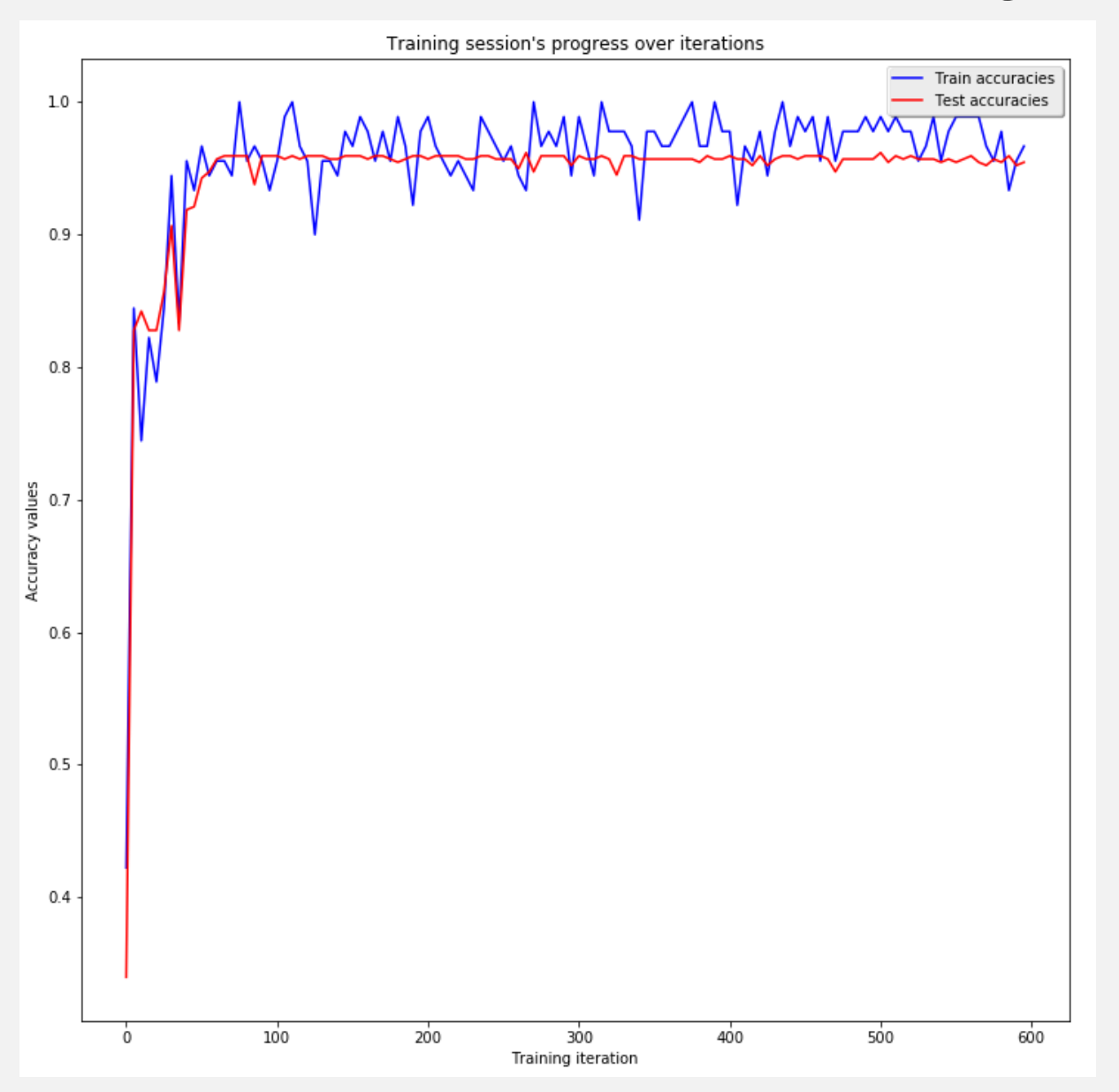
- · 训练过程耗时612.5s
- 模型单独进行一次判断平均耗时 4256ms
- 训练集正确率在90%上下波动
- 测试集正确率基本稳定在85.2%

单一特征 (rightFRMS) 六分结果



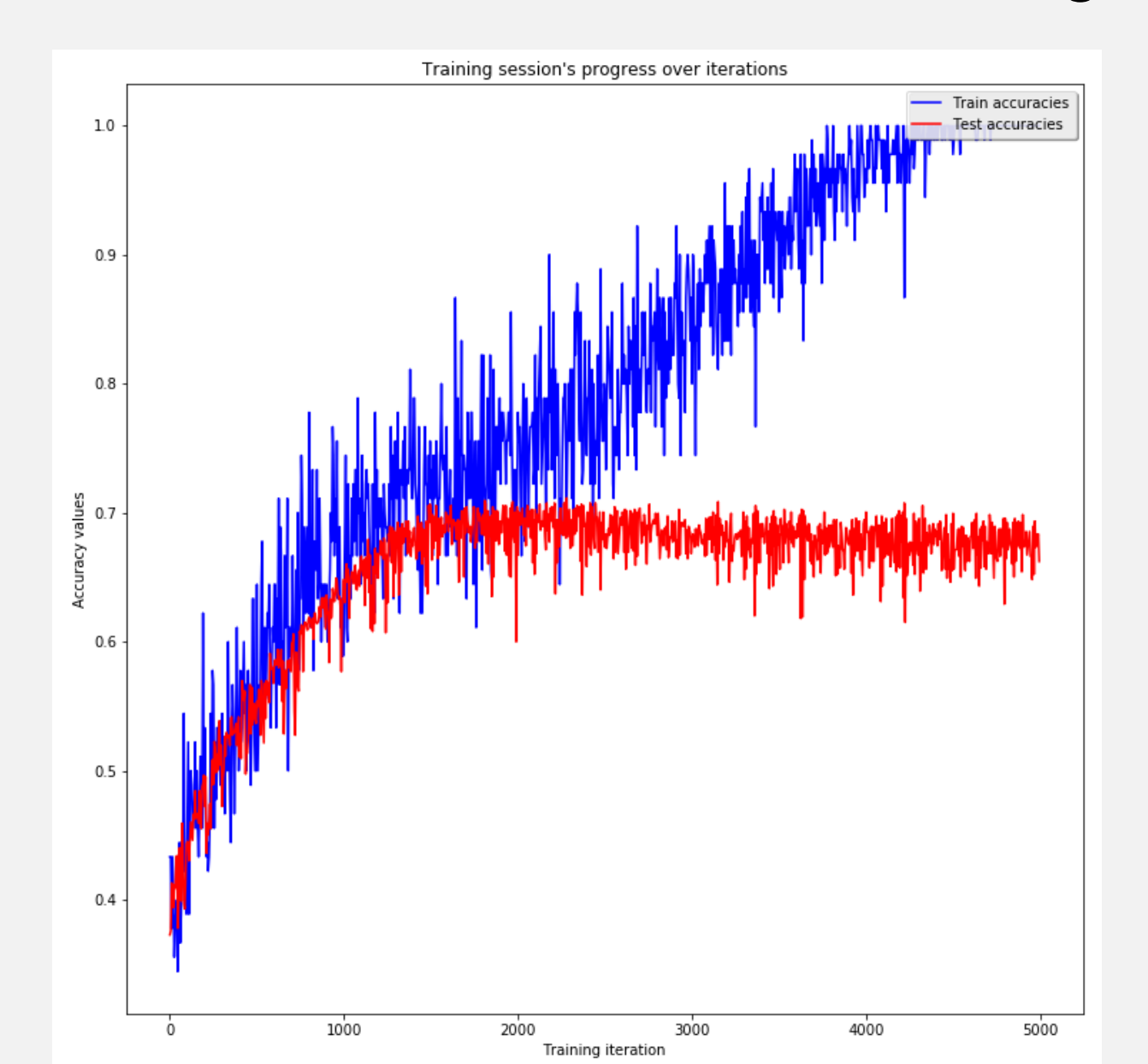
- · 训练过程耗时874.7s
- 模型单独进行一次判断平均耗时 4827ms
- 训练集正确率在65%上下波动
- •测试集正确率基本稳定在62.3%

双特征(leftFRMS & rightFRMS)对比说明



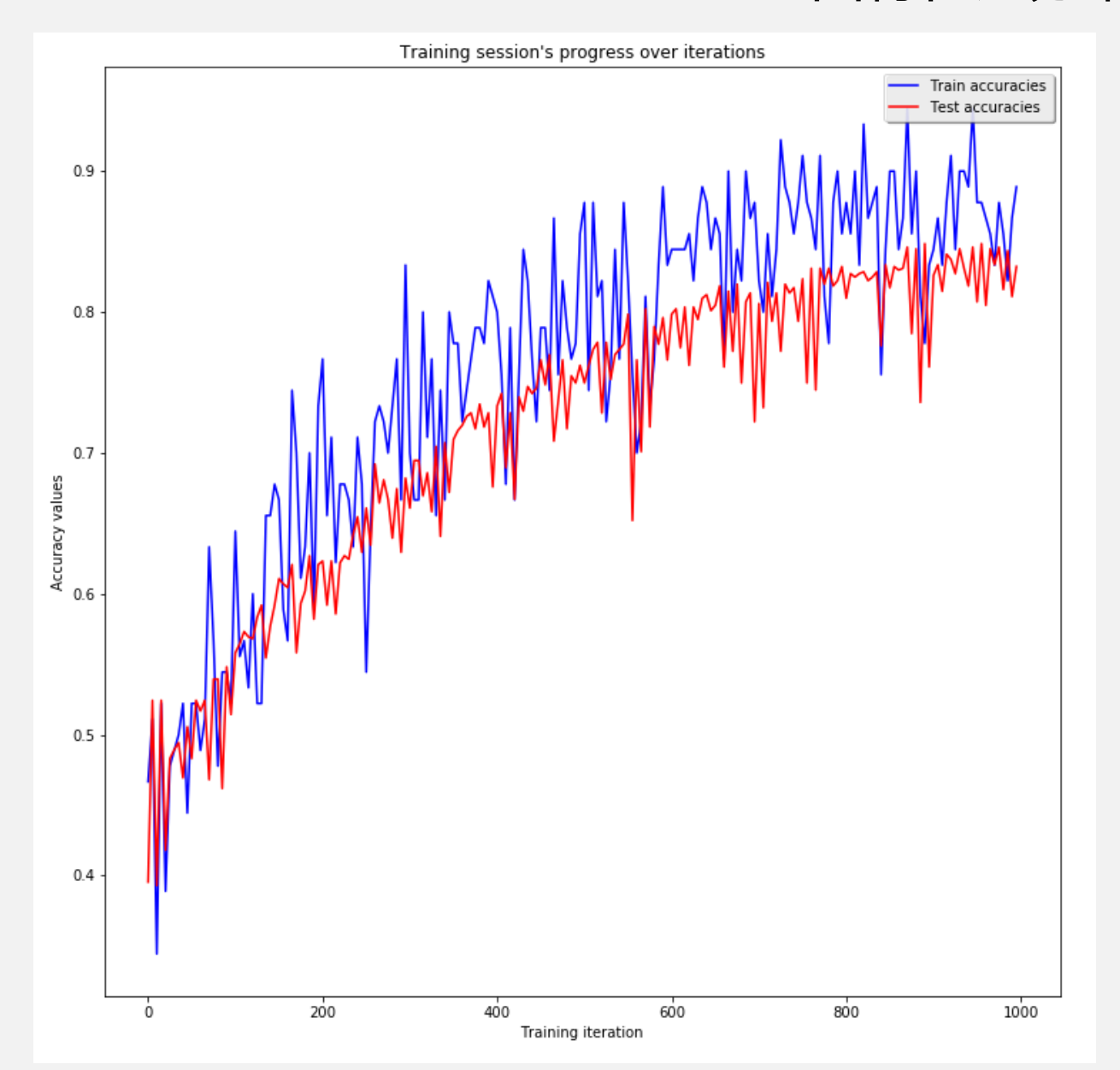
- 训练集正确率在97%上下波动
- •测试集正确率基本稳定在95.7%
- 说明两根天线接收到的FRMS大致相同又因为距离和摆放原因有少许不同
- 可以利用这种不同辅助判断

双特征(leftFRMS & rightFRMS) 六分结果



- 训练集正确率持续走高
- 测试集正确率基本稳定在68.9%左右
- 说明测试集与训练集在划分时存在部分偏差,与选取特征同样有关
- 存在部分过拟合现象

四特征六分结果



• 训练集正确率在86%上下波动

• 测试集正确率基本稳定在83%

• 基本满足日常需求

• 左移右移较难判断,污染了数据库

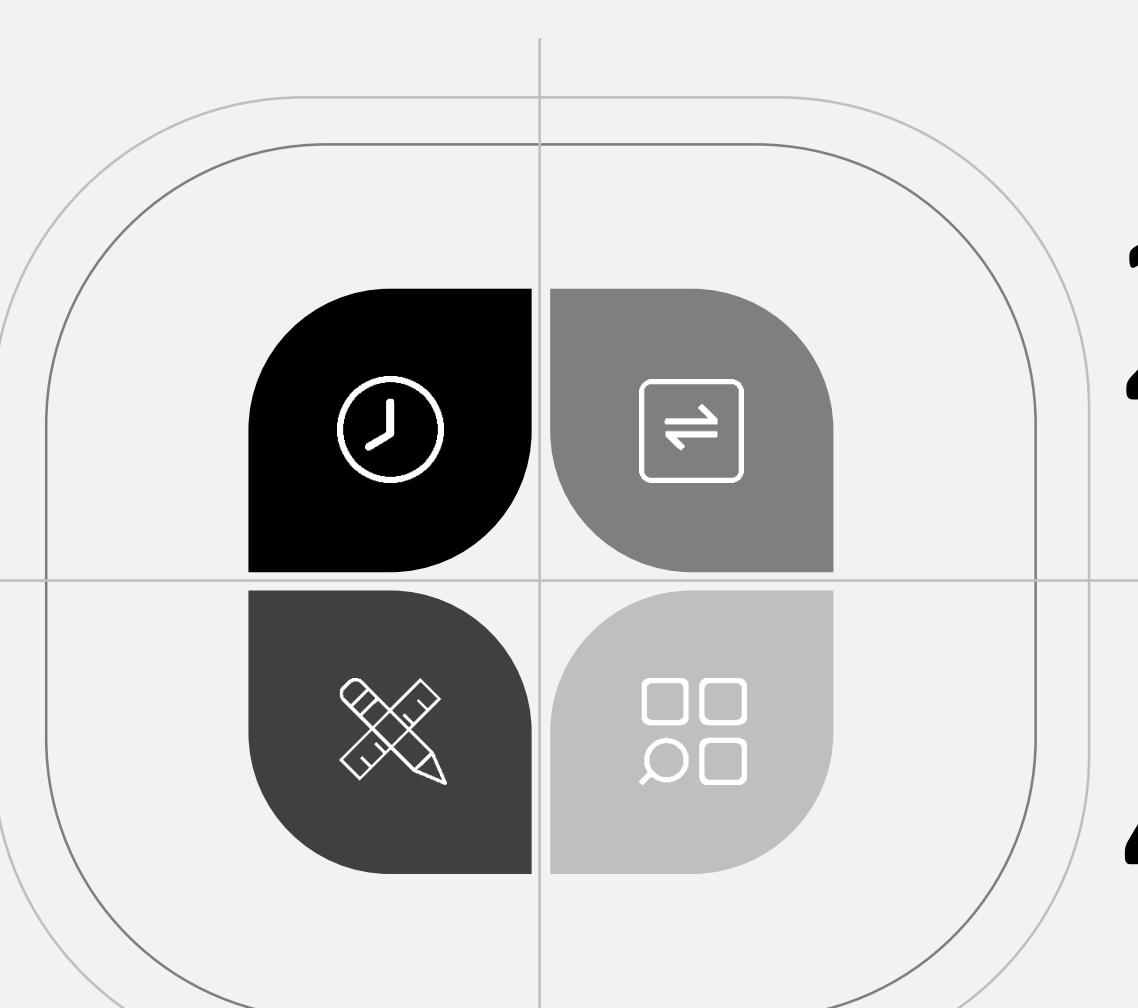
意义: Inference Attack On Wireless Channels



防御手段?

射频收发两端加入噪声添加与去除防止学习

予默飞行, 采取非无线 的通信方式 (光桥等)



使通信协议 的传输过程 能按照随机 生成的方法 进行变动

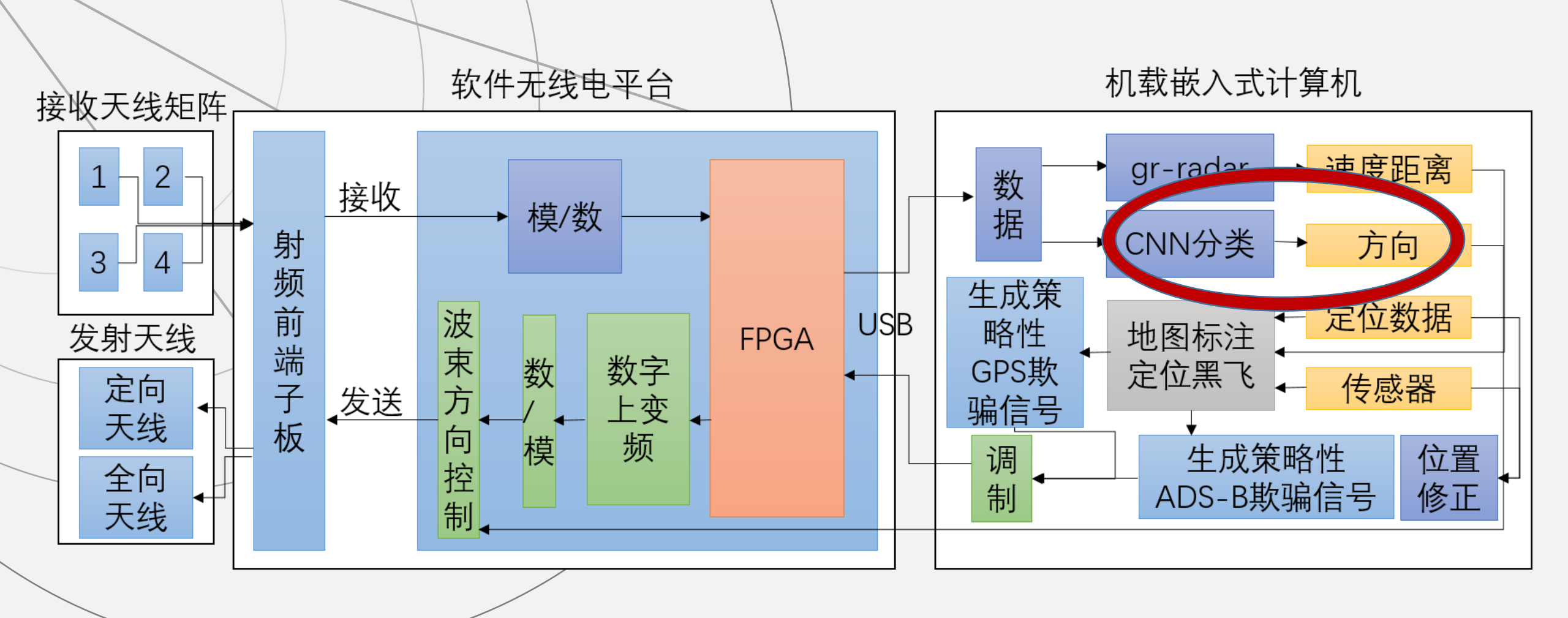
你认为呢?



未来展望及预期



刑天:基于无人机的无线电反无人机系统



THANKS

DDI: Deep Learning in Drone Direction Indication



汇报:刘诗楠

时间:2017年8月25日